
Beurteilung des Einflusses von Aqcent auf das menschliche Bioenergiefeld (Quick study)

Assess the influence of the human Aqcent Bioenergyfield (Quick Study)

Inhalt:

1. Einführung	2
2. Beurteilung des Einflusses mittels der Software GDV Diagram	2
3. Beurteilung des Einflusses mittels der Software GDV Energy Field	9
4. Beurteilung des Einflusses mittels der Software GDV Virtual Chakra	16
5. Zusammenfassung	18

Contents:

1 Introduction	2
2 Assess the influence of using the software GDV Diagram	2
3 Assess the influence of using the software GDV Energy Field	9
4 Assess the influence of using the software Virtual GDV Chakra	16
5 Summary	18

1. Einführung

Am 13. Januar 2008 wurde ein Experiment durchgeführt, bei dem zu einem bestimmten Zeitpunkt das Energiefeld eines Hauses und damit der im Haus lebenden Personen und des im Haus verfügbaren Leitungswassers getestet werden sollten. Der Einfluss wurde vom Raum München aus gesteuert und zielte auf ein Haus in Stockholm ab.

Dieser Bericht beinhaltet die Ergebnisse des Einflusses von Aqcent auf einen Menschen.

1. Introduction

On 13 January 2008, conducted an experiment in which at some point the energy field of a family and to the people living in the house and the available tap water should be tested. The effect was controlled by the Munich area, and was aimed at a house in Stockholm. This report contains the results of the influence of Aqcent on a man.

2. Beurteilung des Einflusses mittels der Software GDV Diagram

Die Darstellung der integralen Parameter in der Software GDV Diagram ermöglicht einen schnellen Überblick über den allgemeinen Zustand des Bioenergiefeldes einer Person.

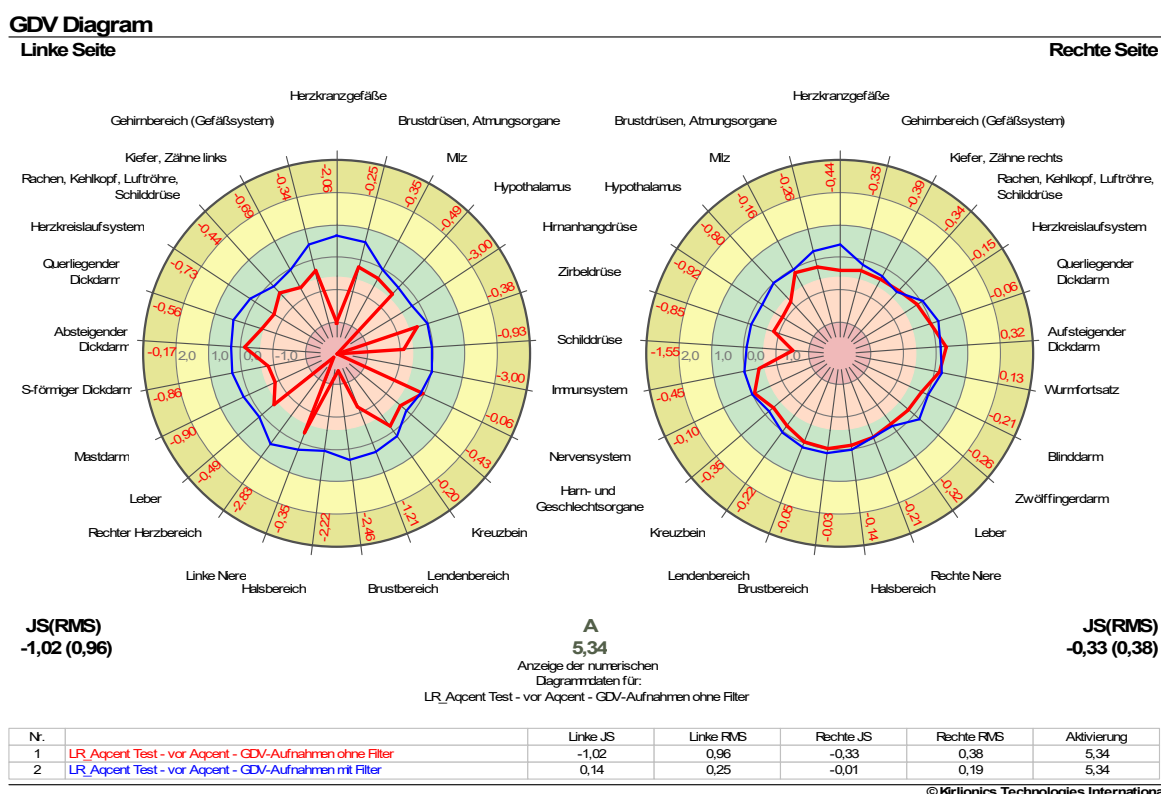
Wie aus den folgenden Darstellungen hervorgeht, hat eine starke Erhöhung der Gesamtenergie des Organismus sowie eine deutliche Harmonisierung zwischen der linken und der rechten Körperseite (Symmetrie).

Darstellung 1: GDV Diagramm vor Aqcent Einfluss

2. Assess the influence of using the software GDV Diagram

Representation of the integral parameters in the software GDV Diagram provides a quick overview about the general state of the bioenergy field of a person. As is apparent from the following presentation, a strong increase in the total energy of the organism and to a significant convergence between the left and the right side of the body (symmetry).

Figure 1: Diagram GDV before Aqcent influence



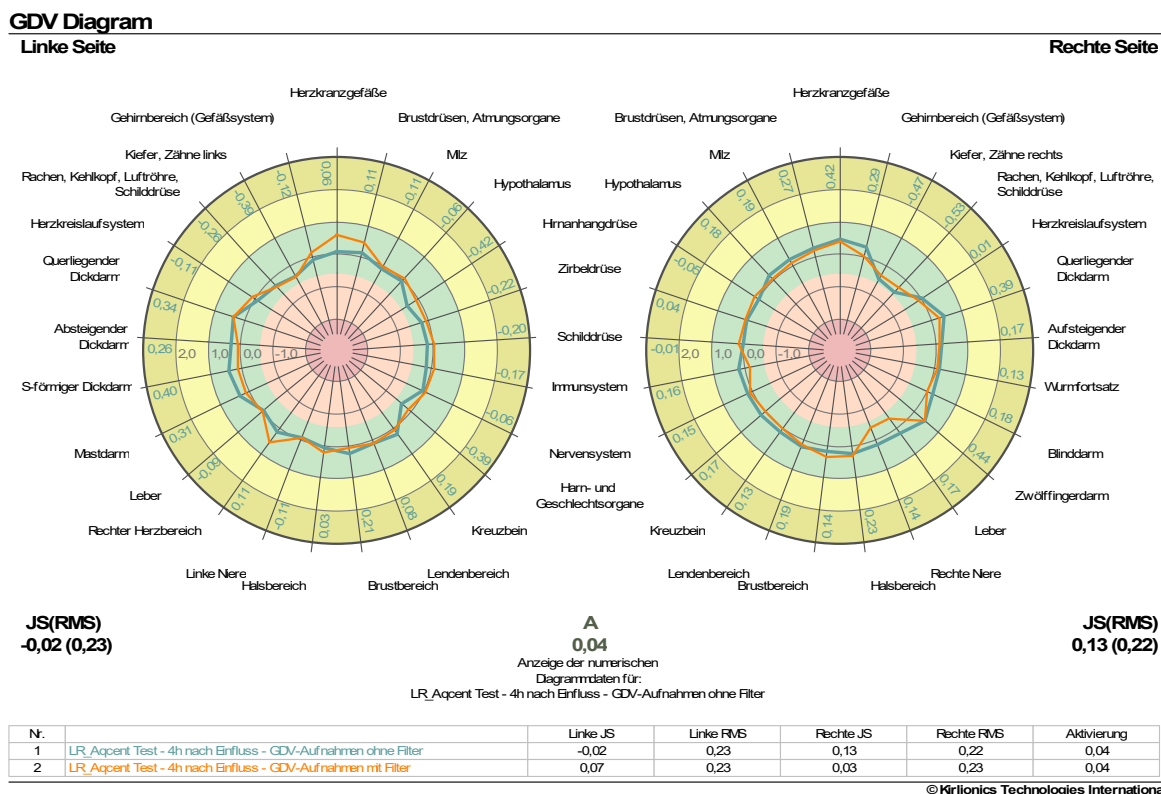
Die Darstellung zeigt, dass die physische Ebene des Körpers (blaue Kurve) vor dem Einfluss von Aqcent relativ stabil und ausgeglichen war. Jedoch zeigten sich auf der mentalen und der emotionalen Ebene z.T. starke Stressmuster im Rückenbereich, im Bereich des Hormonsystems, der Schilddrüse und der Herzkranzgefäße. Auf der rechten Körperseite waren diese Stressmomente nicht in gleicher Weise ersichtlich.

The figure shows that the physical level of the body (blue curve) against the influence of Aqcent was relatively stable and balanced. However, appeared on the mental and emotional level, some strong stress pattern in the

back, in the endocrine system, thyroid, and the coronary vessels. On the right side of the body these stress factors were not apparent in the same way.

Darstellung 2: GDV Diagramm 4 Stunden nach Aqcent Einfluss

Figure 2: GDV Diagram 4 hours after Aqcent influence

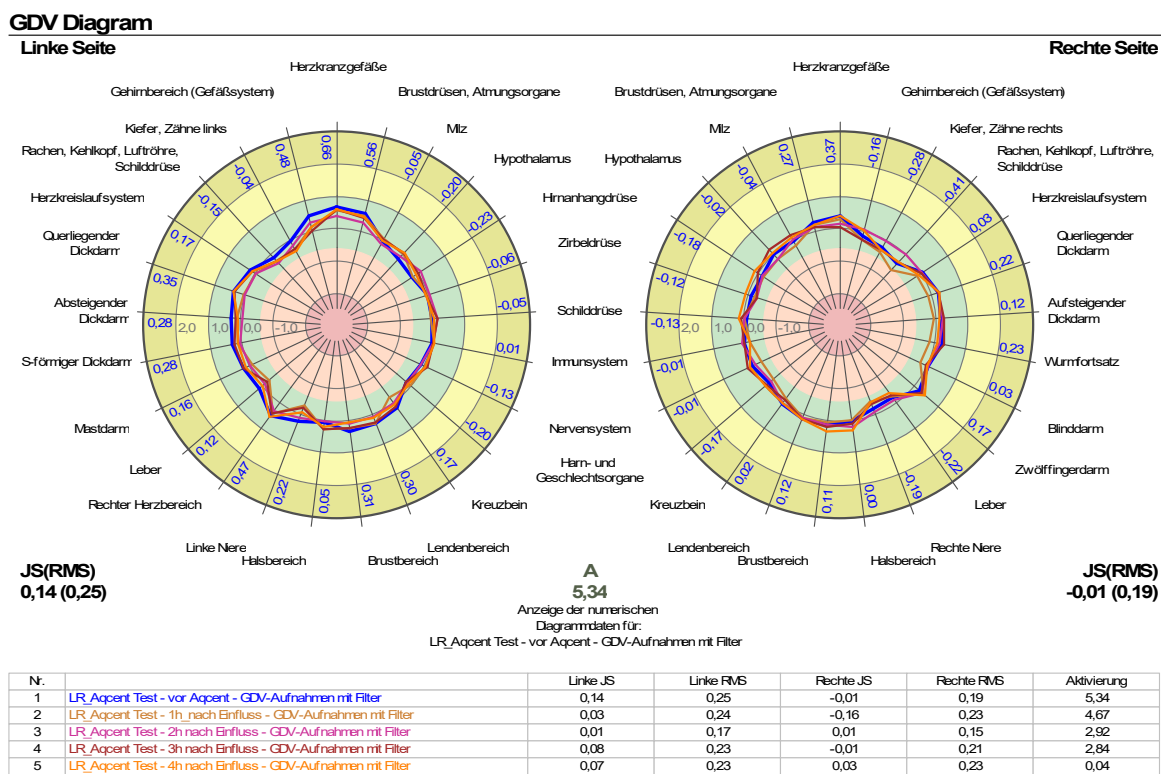


Bereits 4 Stunden nach Einfluss von Aqcent war das Energiefeld der Testperson stark ausgeglichen. Alle Gebiete, die vor dem Einfluss einen Energiemangel aufzeigten, waren nach 4 Stunden Aqcent-Einfluss eindeutig ausgeglichen. Die Symmetrie zwischen der linken und der rechten Körperhälfte war wiederhergestellt. Die Testperson fühlte sich zu diesem Zeitpunkt wesentlich ausgeglichener, voller Energie und ruhiger.

Already 4 hours after Aqcent influence of the energy field of the test person was compensated greatly. All areas that showed against the influence of an energy shortage were nach 4 hours Aqcent influence uniquely balanced. The symmetry between the left and right side of the body was recovered. The test person was at this time much more balanced, peaceful and full of energy.

Darstellung 3: GDV Diagramm der physischen Ebene vor und zu unterschiedlichen Zeiten nach Aqcent

Figure 3: GDV Diagram of the physical level before and at different times after Aqcent



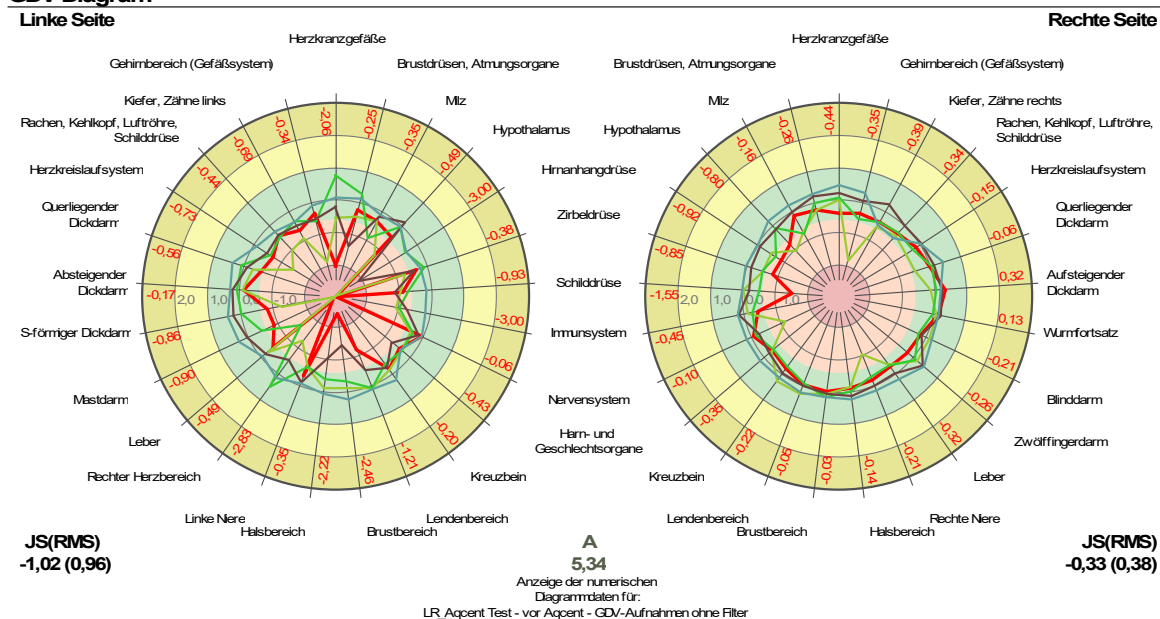
Die physische Ebene des Energiefeldes (Aufnahmen mit Filter) zeigt sich während des gesamten Tests sehr stabil. Geringfügige Variationen im energetischen Wert der einzelnen Organbereiche ist auf eine normale Tätigkeit des Organismus während des Tests zurückzuführen (physische Aktivität, Nahrungsaufnahme).

Darstellung 4: GDV Diagramm der Gesamtkörper-Ebene (somatische und psycho-somatische) vor und zu unterschiedlichen Zeiten nach Aqcent

The physical level of the energy field (shooting with filter) shows very stable throughout the test. Slight variations in the energetic value of the individual sections of organs is due to the normal activities of the organism during the test (physical activity, food intake).

Figure 4: Diagram of the total GDV-level body (somatic and psycho-somatic) before and at different times after Aqcent

GDV Diagram



Nr.		Linke JS	Linke RMS	Rechte JS	Rechte RMS	Aktivierung
1	LR_Aqcent Test - vor Aqcent - GDV-Aufnahmen ohne Filter	-1,02	0,96	-0,33	0,38	5,34
2	LR_Aqcent Test - 1h nach Einfluss - GDV-Aufnahmen ohne Filter	-0,88	0,81	-0,38	0,50	4,67
3	LR_Aqcent Test - 2h nach Einfluss - GDV-Aufnahmen ohne Filter	-0,33	0,49	-0,25	0,25	2,92
4	LR_Aqcent Test - 3h nach Einfluss - GDV-Aufnahmen ohne Filter	-0,52	0,57	0,01	0,16	2,84
5	LR_Aqcent Test - 4h nach Einfluss - GDV-Aufnahmen ohne Filter	-0,02	0,23	0,13	0,22	0,04

©Kirlionics Technologies International

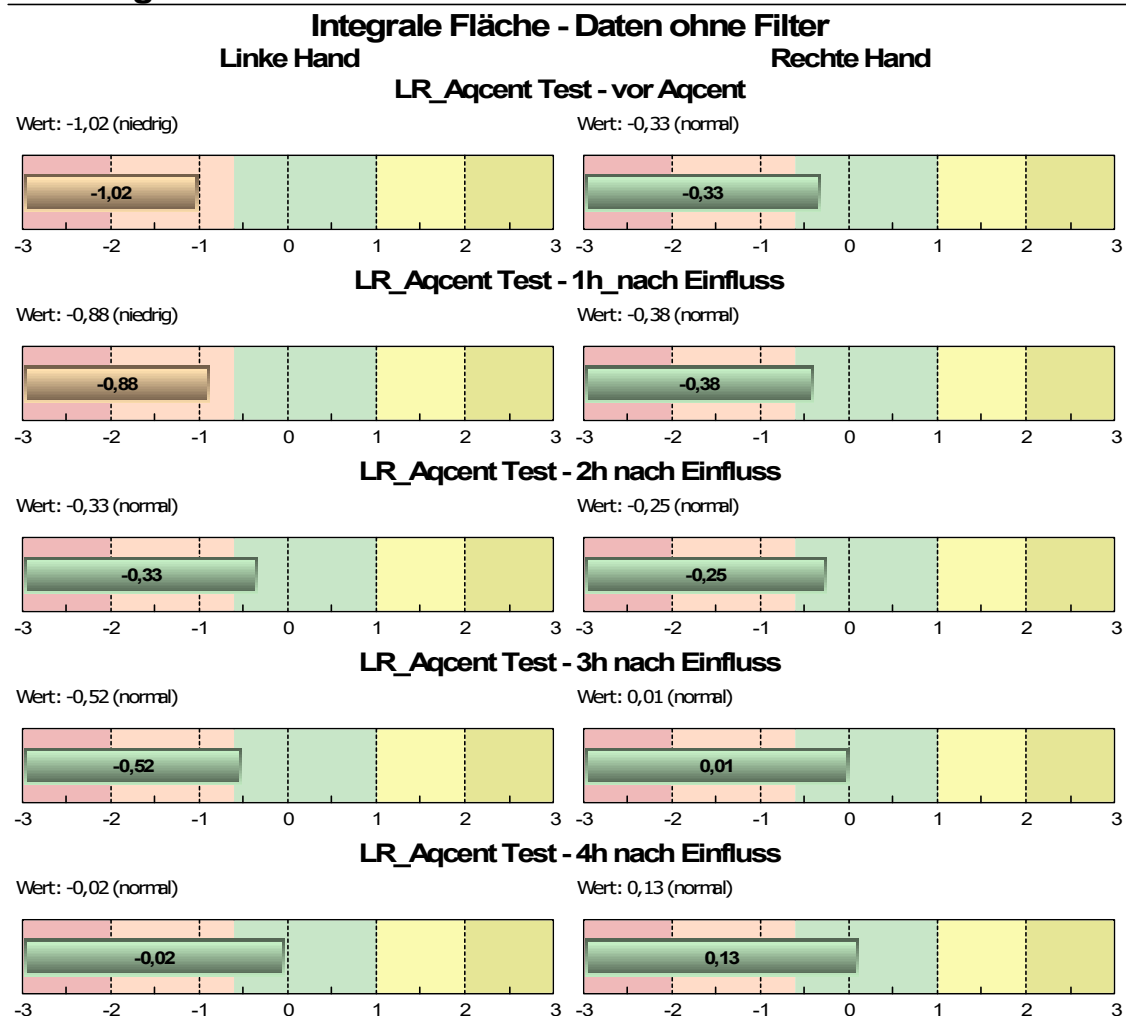
Diese Darstellung zeigt deutlich die immer stärker werdende Harmonisierung des Energiefeldes und einen Ausgleich der anfänglichen Unbalancen im Laufe des Einflusses von Aqcent. Die emotionalen Stressbereiche vor dem Aqcent-Einfluss sind 4 Stunden später völlig ausgeglichen.

This representation clearly shows the ever increasing harmonization of the energy field and to compensate the initial imbalances in the course of the influence of Aqcent. The emotional stress areas before Aqcent influence are completely offset 4 hours later.

Darstellung 5: GDV Diagramm Parameter „Fläche des Energiefeldes“

Figure 5: Diagram GDV parameters "area of the energy field"

GDV Diagram



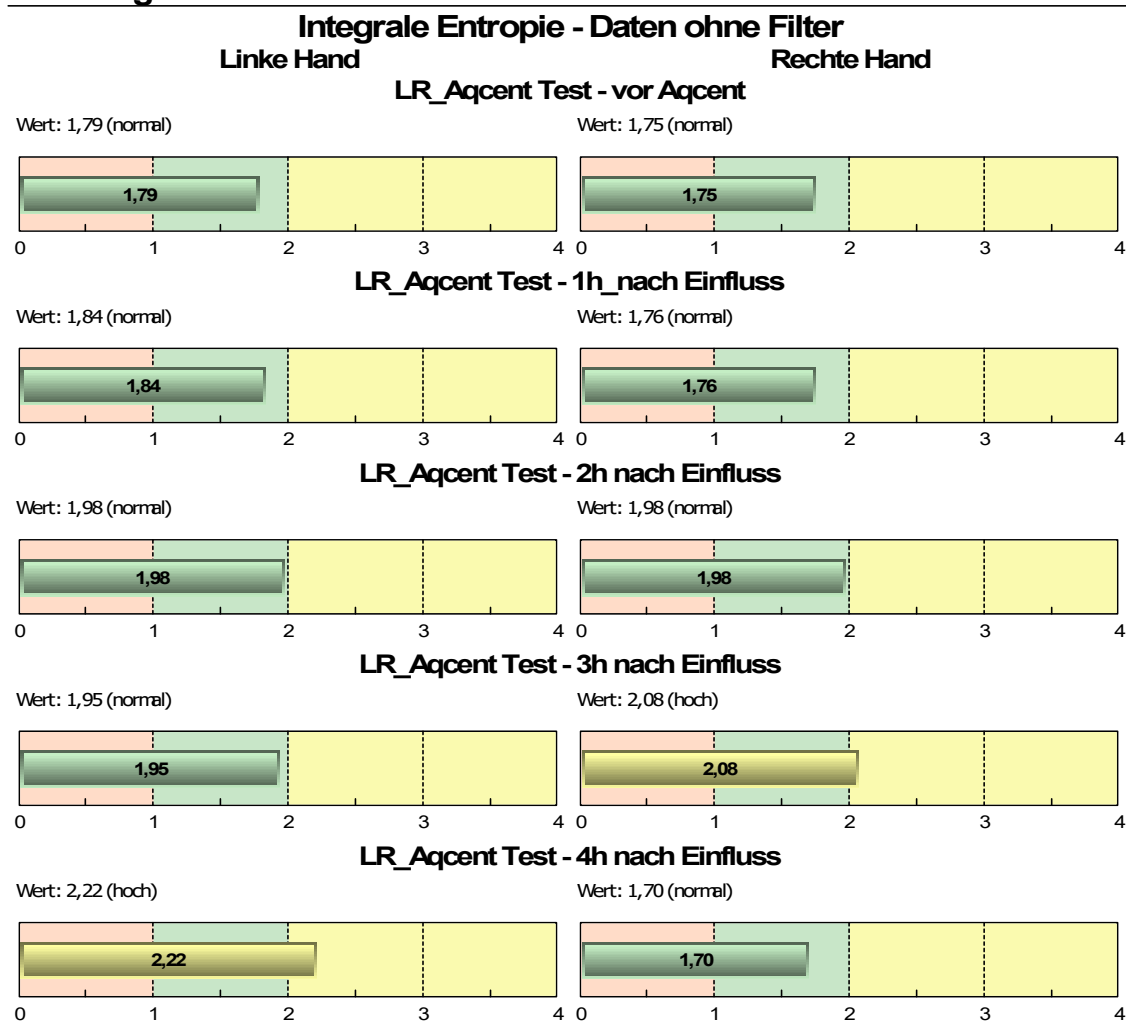
Diese Darstellung zeigt den deutlichen und balancierten Anstieg der Fläche des Bioenergiefeldes der Testperson während des Einflusses von Aqcent. 4 Stunden nach dem Einfluss ist die Fläche im Bereich von (statistisch gesehen) relativ gesunden Menschen mit einer sehr hohen Symmetrie zwischen der linken und der rechten Körperseite. Die Tendenz der positiven und ausgleichenden Wirkung des Aqcent Einflusses ist in der Darstellung deutlich erkennbar.

This illustration shows the significant and balanced increase in the area of bio-energy field of the test subject while the influence of Aqcent. 4 hours after the impact is the area in the range of (statistically speaking) relatively healthy people with a very high degree of symmetry between the left and the right side of the body. The tendency of the positive and balancing effect of Aqcent influence is clearly evident in the presentation.

Darstellung 6: GDV Diagramm Parameter „Entropie des Energiefeldes“

Figure 6: Diagram GDV parameters "entropy of the energy field"

GDV Diagram



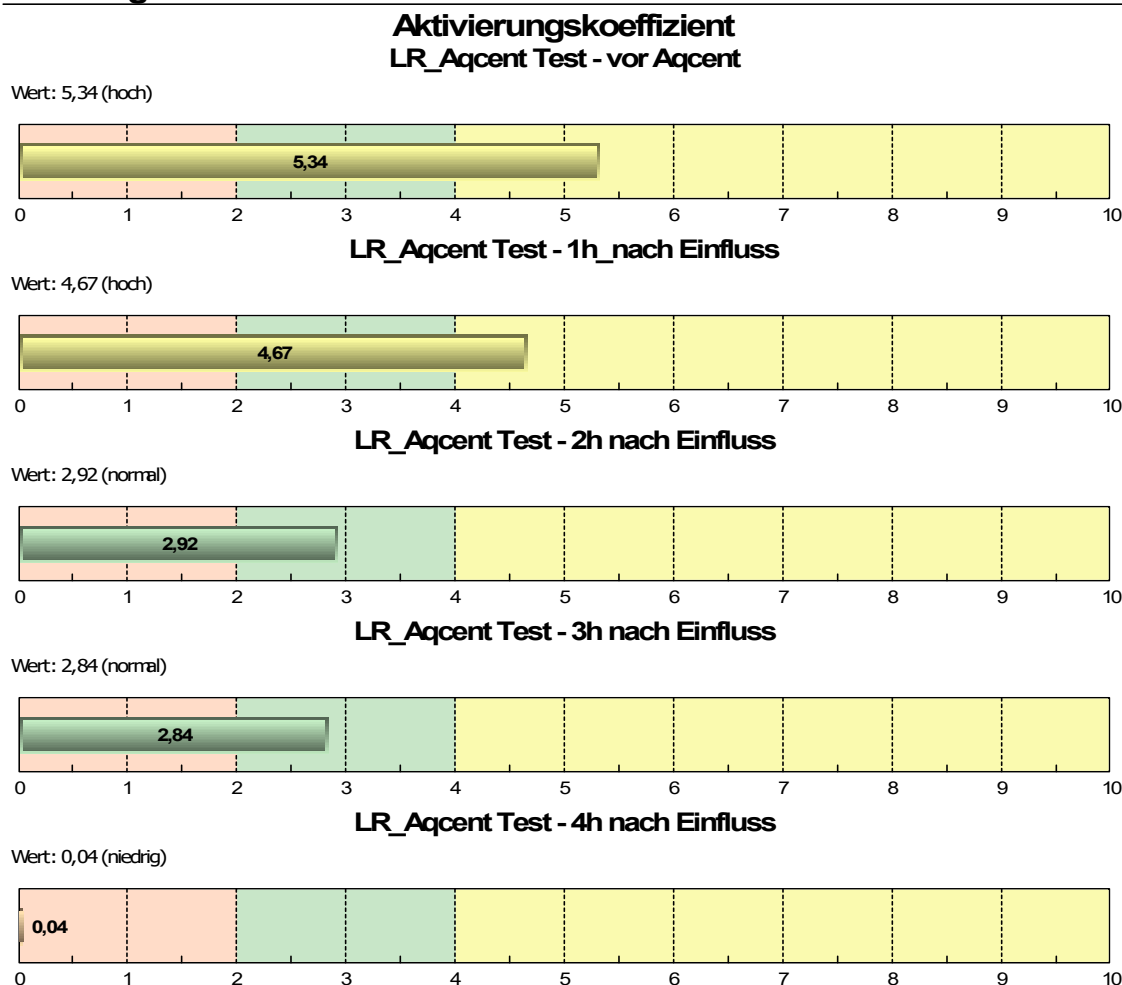
Der Parameter Entropie gibt Aufschluss über die Balance der Regulationsprozesse im Körper. Hier ist eindeutig erkennbar, dass eine Veränderung der Regulationsprozesse im Körper stattgefunden hat. Die vorher beschriebene Erhöhung der Gesamtfläche des Energiefeldes geht mit deutlichen Änderungen in den Regulationsprozessen im Körper einher. Dies bedeutet, dass der Körper im Sinne einer Regulation deutlich auf den Einfluss von Aqcent reagiert. Eine leichte Erhöhung der Entropie während der letzten beiden Messungen zeigt, dass die Regulation im Organismus stark ausgeprägt ist. Auch der Wechsel von erhöhter Entropie zwischen rechter und linker Körperseite ist ein Zeichen starker Regulationsprozesse.

The parameter entropy gives information about the balance of regulatory processes in the body. This is clearly evident that a change has occurred in the regulatory processes in the body. The previously described increase of the total energy of the field is marked by changes in the regulatory processes associated in the body. This means that the body reacts in the sense of a clear regulation on the influence of Aqcent. A slight increase in entropy during the last two measurements shows that the regulation in the body is strong. Also the change of increased entropy between right and left side of the body is a sign of strong regulatory processes.

Darstellung 7: GDV Diagramm Parameter „Aktivierungskoeffizient“

Figure 7: Graph GDV parameters "activation factor"

GDV Diagram



Der Aktivierungskoeffizient gibt Aufschluss über das Niveau innerer Erregtheit und mentaler/emotionaler Erregtheit. Er wird aus der Differenz der Energiefeldaufnahmen mit und ohne Filter berechnet. Wie die Darstellung deutlich zeigt, hat eine sehr starke Balancierung des Organismus und eine wesentliche Entspannung der Testperson stattgefunden. Es ist deutlich erkennbar, dass der Aktivierungskoeffizient von anfänglich leichtem Stress (gelber Bereich), über normale Aktivität (grüner Bereich) bis hin zu tiefer Entspannung (letzte Messung) gesunken ist. Dies spiegelte sich auch in einer starken Verbesserung des allgemeinen Befindens der Testperson wider.

The activation coefficient gives information about the level of internal agitation and mental / emotional arousal. It is calculated from the difference in the energy field recordings with and without filters. As the illustration clearly shows a very strong balance the body and a significant relaxation of the subject has taken place. It is clear that the activation coefficient has decreased from an initial mild stress (yellow area), on normal activity (green area) to deep relaxation (final measurement). This was also reflected in the improvements in general health against the test subject.

3. Beurteilung des Einflusses mittels der Software GDV Energy Field

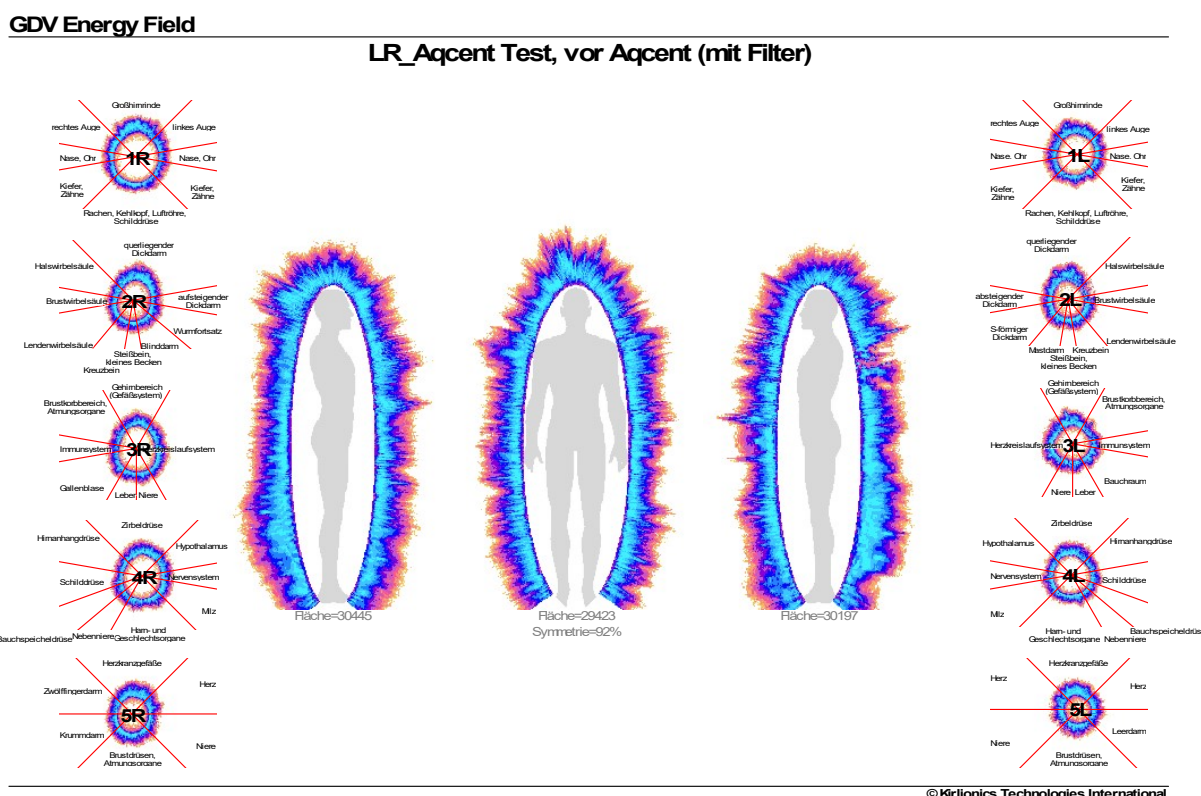
Die Software GDV Energy Field erlaubt eine detaillierte Beurteilung der Energieverteilung im menschlichen Organismus mittels einer intuitiven Darstellung der berechneten Werte des gemessenen Energiefeldes.

Darstellung 8: GDV Energiefeld-Darstellung mit Filter (physische/somatische Ebene) vor Aqcent

3. Assess the influence of using the software GDV Energy Field GDV Energy Field

The software allows a detailed assessment of the energy distribution in the human organism by means of an intuitive representation of the calculated values of the measured energy field.

Figure 8: GDV Energy Field representation with filter (physical / somatic level) before Aqcent



Das Energiefeld zeigt vor dem Aqcent-Einfluss auf der physischen Ebene deutliche Unbalancen im Bereich des oberen Rückens und im Herzbereich.

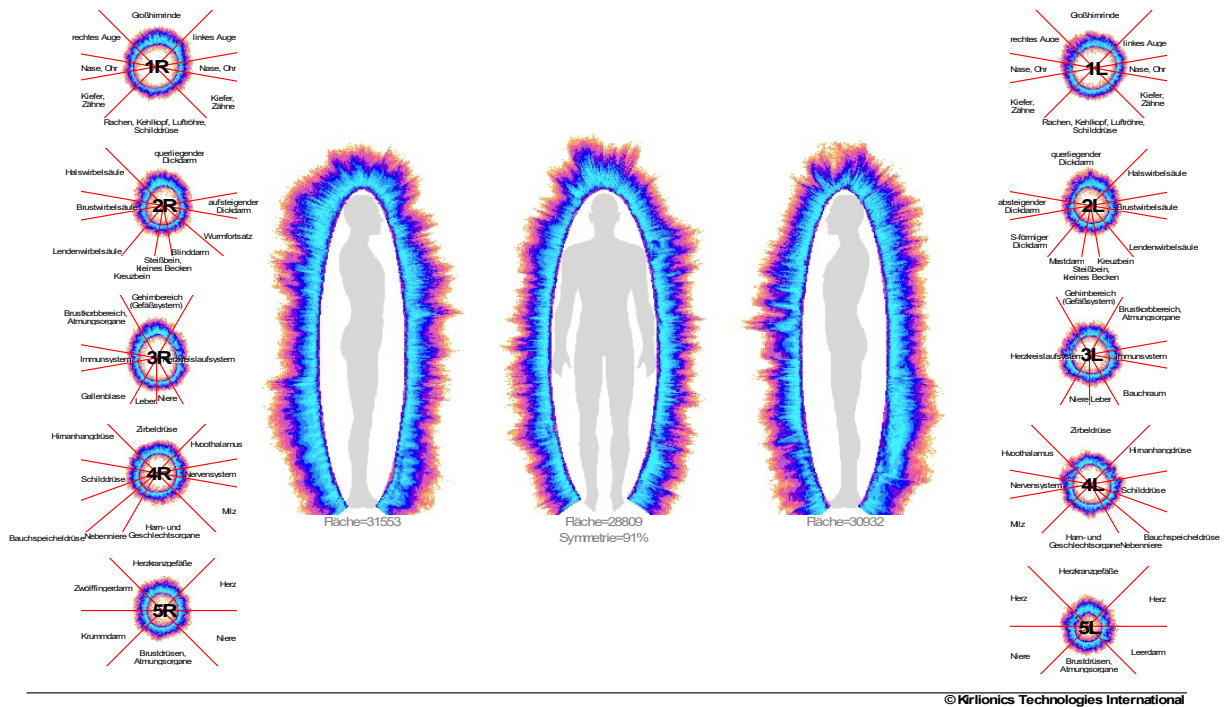
The energy field shows before Aqcent influence on the physical level, significant imbalances in the upper back and in the heart area.

Darstellung 9: GDV Energiefeld-Darstellung mit Filter (physische/somatische Ebene) 4 Stunden nach Aqcent

Figure 9: GDV Energy Field representation with filter (physical / somatic level) 4 hours after Aqcent

GDV Energy Field

LR_Aqcent Test, 4h nach Einfluss (mit Filter)



Die Darstellung des Energiefeldes nach dem Einfluss von Aqcent zeigt eine deutliche Erhöhung der Fläche des Energiefeldes, einen Ausgleich der zuvor gezeigten Unbalancen.

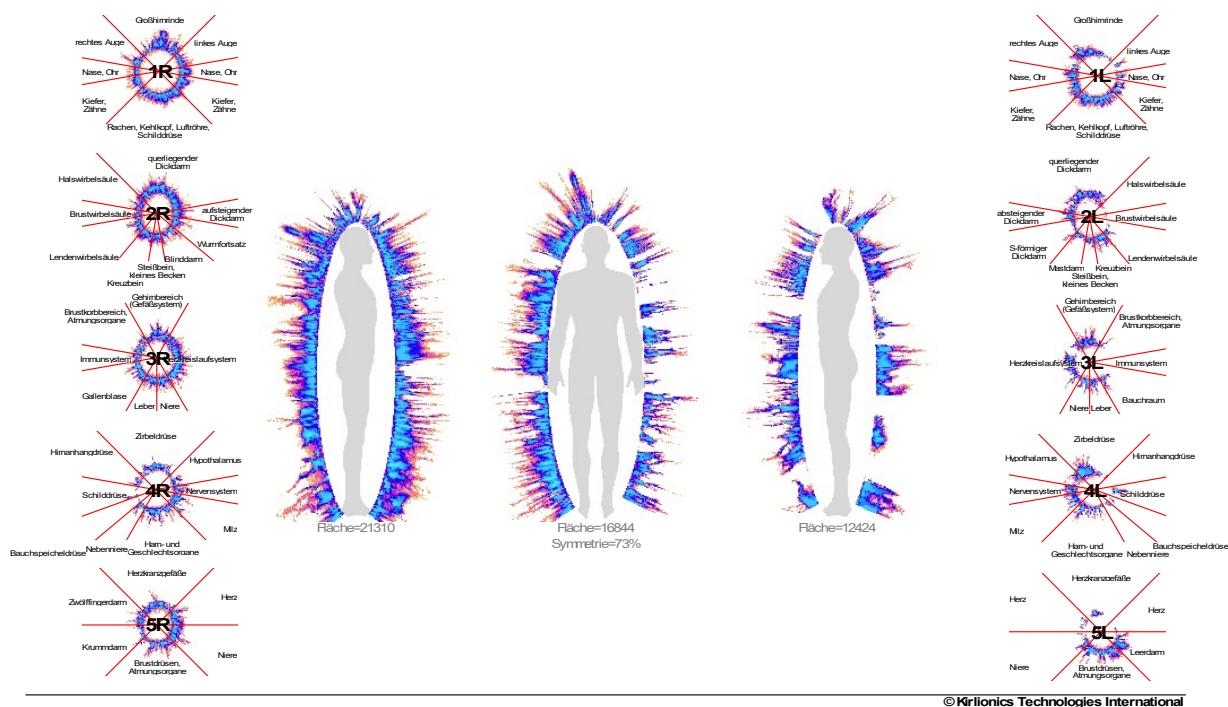
The representation of the energy field after the influence of Aqcent shows a significant increase in the area of the energy field, balancing the imbalances shown previously.

Darstellung 10: GDV Energiefeld-Darstellung ohne Filter (psycho-somatische Ebene) vor Aqcent

Figure 10: GDV Energy Field representation without filter (psycho-somatic level) before Aqcent

GDV Energy Field

LR_Aqcent Test, vor Aqcent (ohne Filter)



Das Energiefeld der Testperson zeigt vor dem Einfluss von Aqcent deutliche Zeichen von starken Unbalancen und Energiemangel in verschiedenen Bereichen. Besonders deutlich ist Energiemangel im Bereich des Rückens, des Hormonsystems, der Leber, des Herzens und des Urogenitalsystems erkennbar. Diese Energiemängel und die starke Unbalance des Energiefeldes lassen auf ein erhöhtes Stressniveau schließen, wie es bereits im GDV Diagramm ersichtlich war.

The energy field of the test subject from the influence of Aqcent shows clear signs of severe energy shortages and imbalances in different areas. Particularly apparent lack of energy in the back, the endocrine system, liver, heart and urogenital is recognizable. This energy deficiencies and the strong imbalance in the energy field can include an increased level of stress, as was already evident in the GDV Diagram.

Darstellung 11-14: GDV Energiefeld-Darstellungen ohne Filter (psycho-somatische Ebene) zu unterschiedlichen Zeitpunkten nach Aqcent

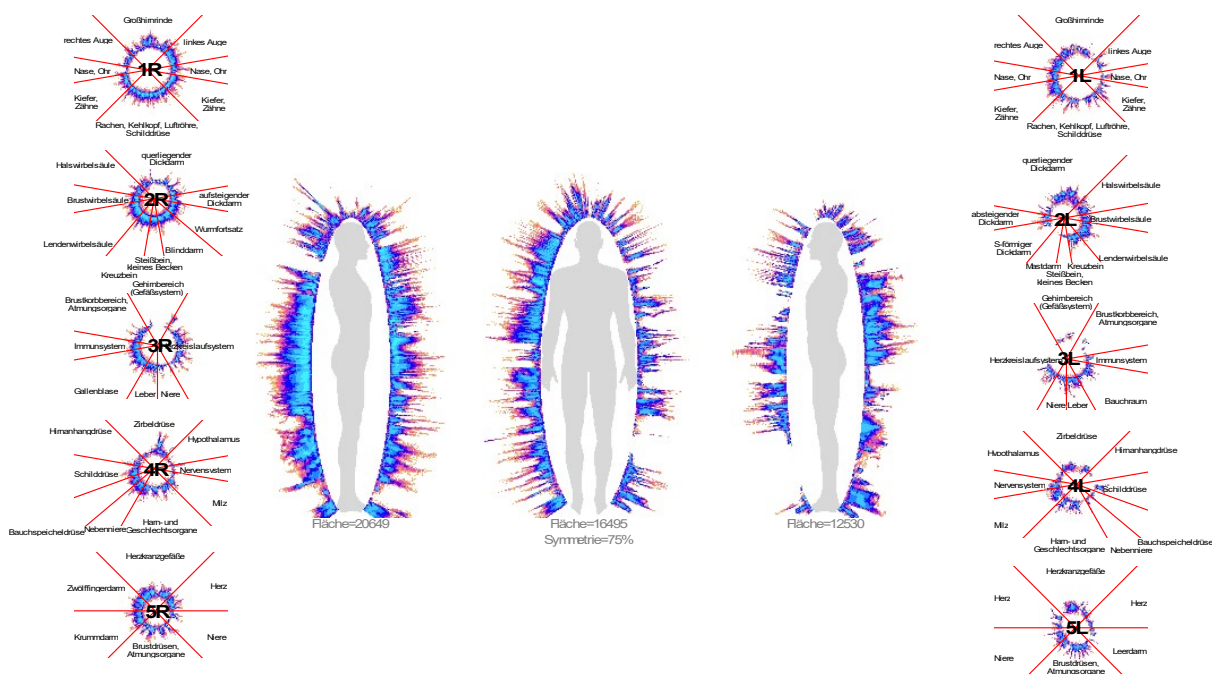
Die folgenden Darstellungen zeigen eine deutliche Veränderung der Eigenschaften des Bioenergiefeldes der Testperson während und nach dem Einfluss von Aqcent. Da die Bilder im wesentlichen für sich sprechen wird hier auf eine detaillierte Auswertung verzichtet.

Representation 11-14: GDV Energy Field representations without filter (psycho-somatic level) at different time points after Aqcent

The following illustrations show a significant change in the properties of bio-energy field of the test subject during and after the influence of Aqcent. Since the images are essentially speak for themselves here, no detailed analysis.

GDV Energy Field

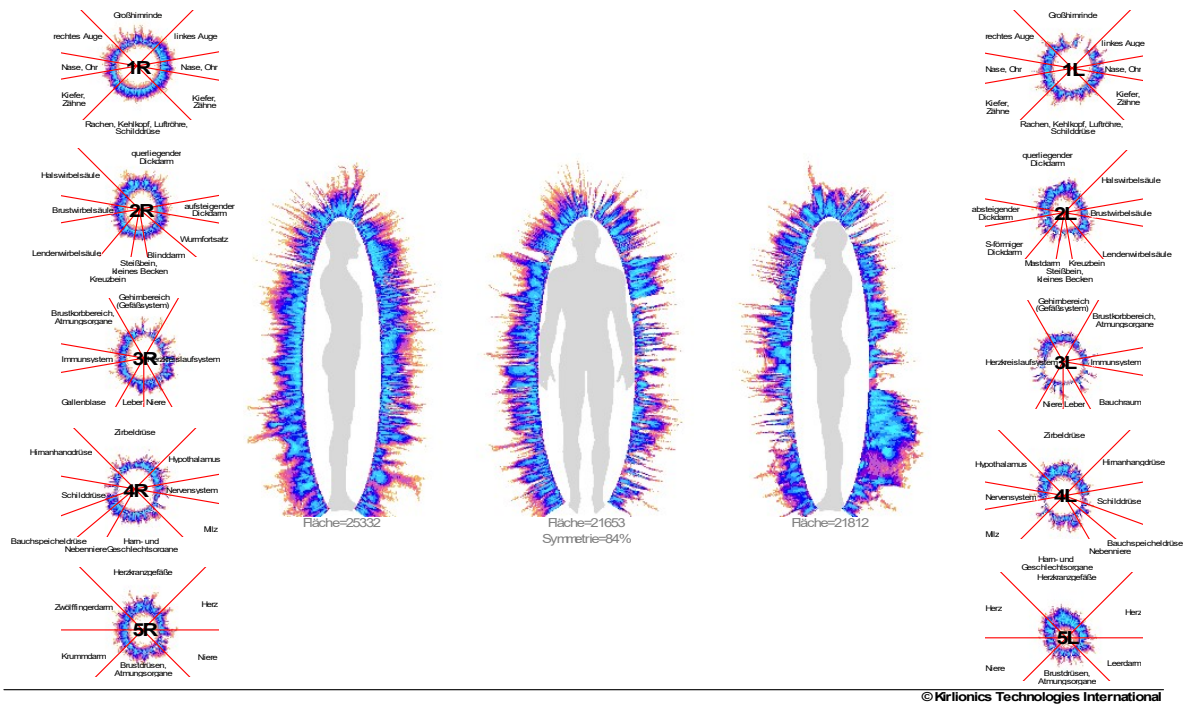
LR_Aqcent Test, 1h_nach Einfluss (ohne Filter)



© Kirilions Technologies International

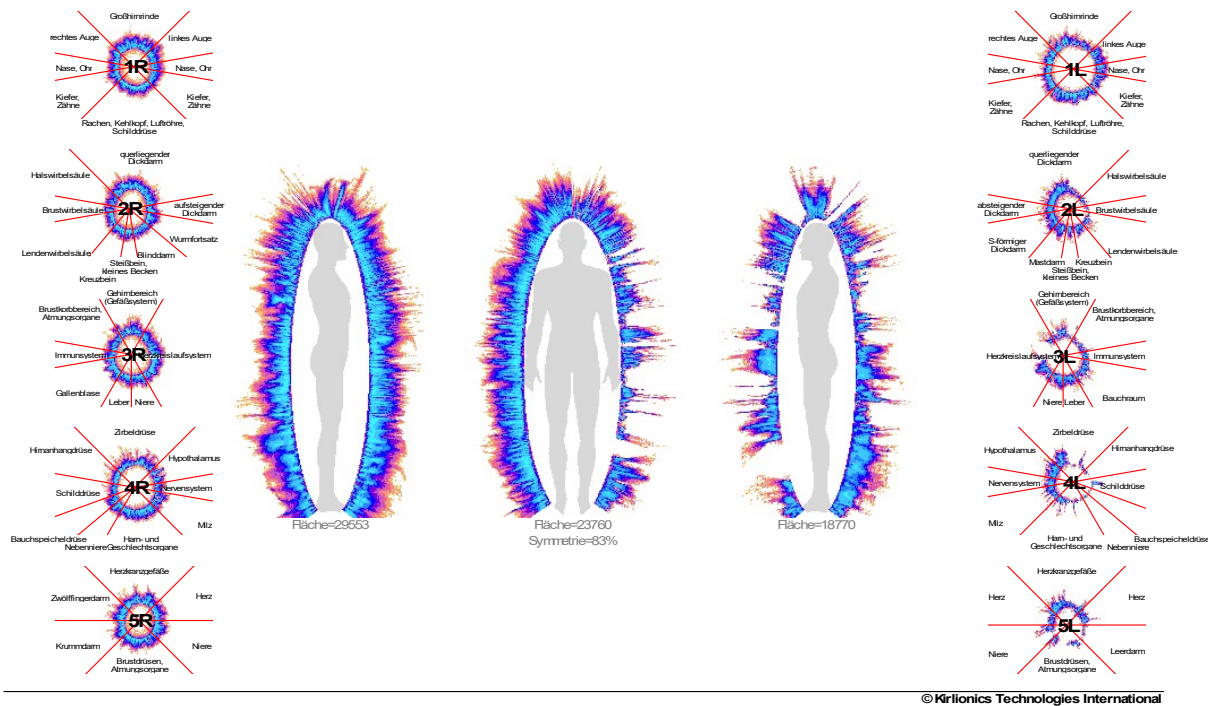
GDV Energy Field

LR_Aqcent Test, 2h nach Einfluss (ohne Filter)



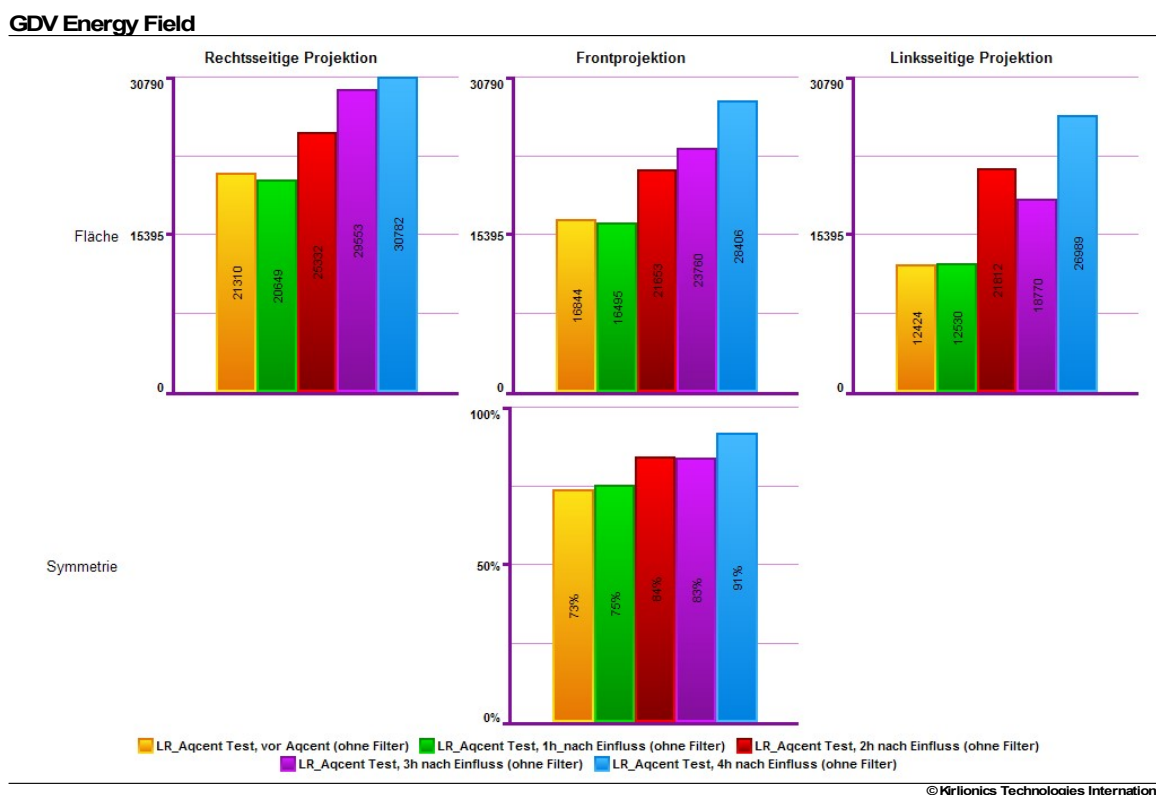
GDV Energy Field

LR_Aqcent Test, 3h nach Einfluss (ohne Filter)



Darstellung 15: Vergleich der Energiefeldparameter Fläche und Symmetrie vor und nach dem Einfluss von Aqcent

Presentation 15: Comparison of surface and symmetry energy field parameters before and after the influence of Aqcent



Diese Darstellung zeigt deutlich den starken und balancierten Anstieg der Fläche des Energiefeldes. Die körperinternen Regulationsprozesse führen zu einer Verbesserung der Energiebalance im Körper und zu einer Erhöhung der Symmetrie des Energiefeldes. D.h. die Balance zwischen linker und rechter Körperseite bzw. rechter und linker Gehirnhälfte ist nach dem Einfluss im Wesentlichen wiederhergestellt. Dies stimmt auch mit der in Kapitel 2, Darstellung 7 gezeigten starken Verringerung des Aktivierungskoeffizienten überein.

This representation clearly shows the strong and balanced increase in the area of the energy field. The body's internal regulatory processes lead to an improvement in the energy balance in the body and increase the symmetry of the energy field. Ie the balance between left and right side of the body and right and left hemisphere is largely restored after the impact. This is consistent with the agreement in Chapter 2, representation 7 shown great reduction of the activation coefficient.

4. Beurteilung des Einflusses mittels der Software GDV Virtual Chakra

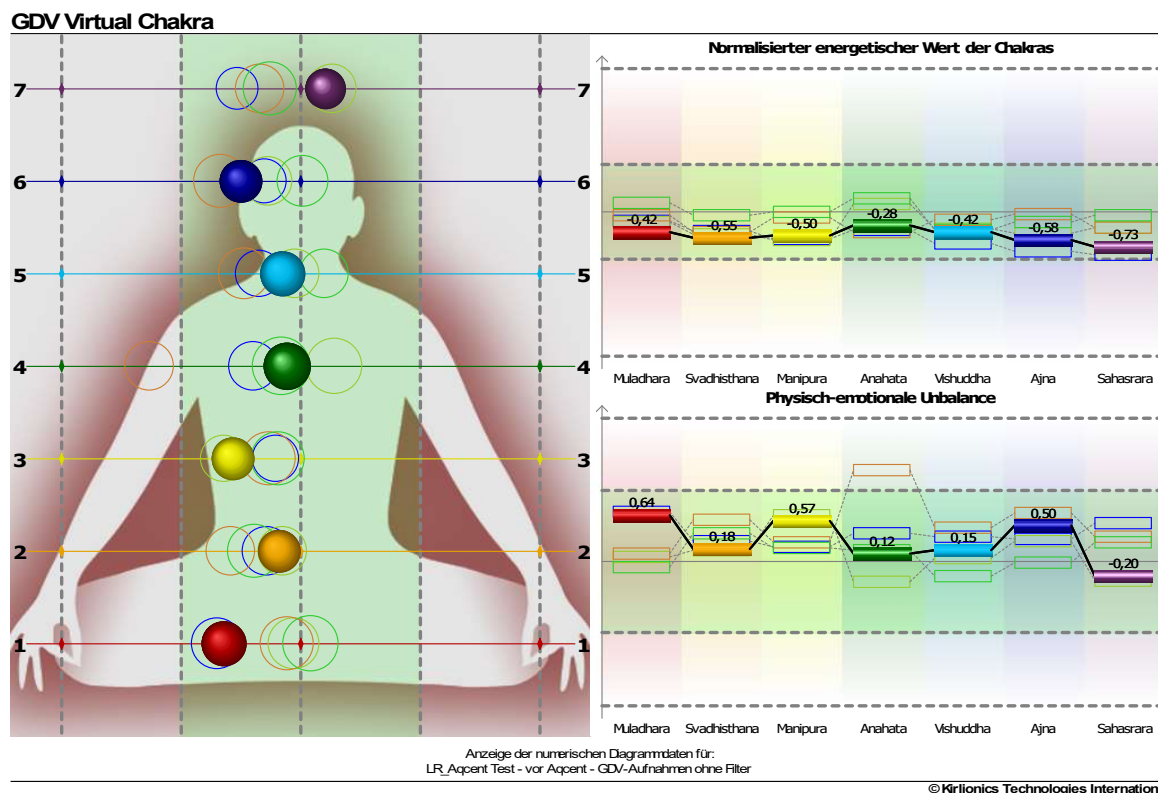
Die Veränderungen der Eigenschaften im Bioenergiefeld während des Einflusses von Aqcent lassen sich sehr deutlich in der Software GDV Virtual Chakra darstellen. Die Parameter „energetischer Wert“ und „physisch-emotionale Unbalance“ der Chakren werden aus den gleichen Aufnahmen wie für die vorhergehenden Softwareprogramme berechnet, jedoch nach den Prinzipien der Ayurvedischen Heilkunst in Chakren-Form dargestellt.

Darstellung 16: GDV Virtual Chakra Darstellung vor dem Einfluss von Aqcent

4. Evaluation the influence of using the software Virtual GDV Chakra

The changes of properties in the bioenergy field, while the influence of Aqcent can be represented very clearly in the software Virtual GDV Chakra. The parameter "energy value" and "physical and emotional imbalance" of the chakras are calculated from the same recording as the previous software programs, but is represented by the principles of Ayurvedic medicine in the form of chakra.

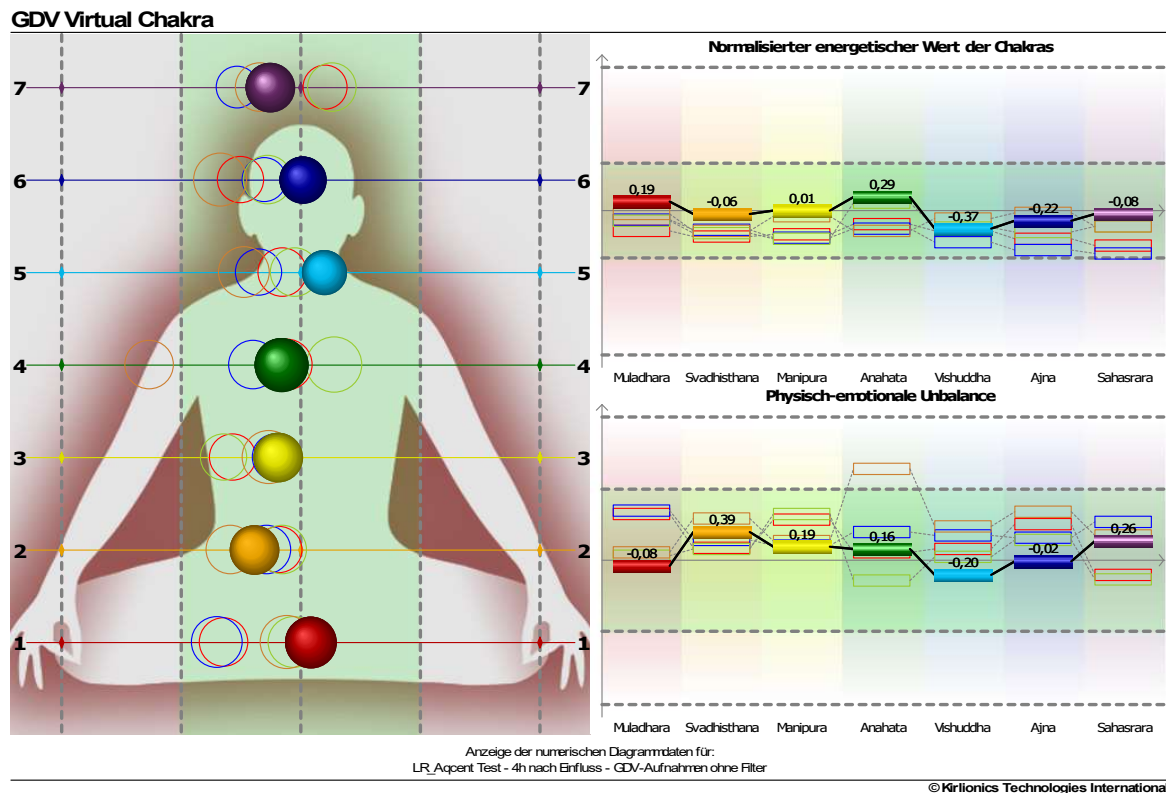
Presentation 16: GDV Chakra virtual representation from the influence of Aqcent



Die Auswertung der Parameter des Energiefeldes zeigt leichten Energiemangel in allen Chakren vor dem Einfluss von Aqcent. Das erste, das dritte und das sechste Chakra zeigen vor Aqcent eine leichte Unbalance im emotionalen Bereich. Für das siebte Chakra zeigt sich eine leichte Unbalance im physischen Bereich, was mit den bereits im GDV Diagramm gezeigten Unbalancen im Bereich des Hormonsystems (Drüsen im Gehirn) übereinstimmt.

The evaluation of the parameters of the energy field shows slight lack of energy in all the chakras from the influence of Aqcent. The first, third and sixth chakra show a slight imbalance in the front Aqcent emotional range. In the seventh Chakra is a slight imbalance in the physical area shows what the diagram already shown in the GDV imbalances in the hormone system matches (glands in the brain).

Darstellung 17: GDV Virtual Chakra Darstellung 4 Stunden nach dem Einfluss von Aqcent
 Presentation 17: GDV Chakra virtual representation 4 hours after the impact of Aqcent



Vier Stunden nach dem Einfluss von Aqcent ist der energetische Wert der Chakren deutlich angestiegen. Auch die physisch-emotionale Unbalance ist deutlich geringer, denn die Chakren-Symbole liegen wesentlich näher an der balancierten Mittellinie. Diese Veränderungen hängen mit einer verstärkten Regulation im Organismus der Testperson zusammen.

Four hours after the influence of the energetic value of the chakras Aqcent has increased significantly. Also, the physical and emotional imbalance is reduced considerably as the chakra symbols are much closer to the center line of balanced. These changes are associated with increased regulation in the body of the subject.

5. Zusammenfassung

Die Auswertung der Eigenschaften des Bioenergiefeldes zeigt eine eindeutige Verbesserung des Zustandes der Testperson 4 Stunden nach dem Einfluss von Aqcent. Die obigen Darstellungen beschreiben den Vorgang von verbesserter Regulation im Körper im Verlaufe des Einflusses. Ein Vergleich der Darstellungen vor und nach dem Einfluss von Aqcent weist auf eine deutlich positive Tendenz in der Regulation des Bioenergiefeldes hin. Dies war verbunden mit einer starken Verbesserung der Leistungsfähigkeit und des allgemeinen Wohlbefindens, was auch durch eine subjektive Einschätzung seitens der Testperson zu den Messzeitpunkten bestätigt wurde. Die vorliegenden Daten weisen auf einen sehr stark harmonisierenden Effekt des Einflusses von Aqcent für die Testperson hin.

Für die Korrektheit der Angaben in diesem Bericht:

Lutz Rabe
IHN – Infinite Human Nature AB
Stockholm/Schweden am 28. Januar 2008

The evaluation of the properties of the bioenergy field shows a clear improvement in the condition of the subject 4 hours after the impact of Aqcent. The above illustrations describe the process of improving regulation in the body during the impact. A comparison of the maps before and after the influence of Aqcent indicates a clearly positive trend in the regulation of bio-energy field. This was associated with a significant improvement in performance and overall well-being, which was also, confirmed by a subjective assessment by the test subject to the measurement points. The present data indicate a very strong harmonizing effect of the influence of Aqcent for that person.

For the correctness of the information in this report:

Lutz Rabe
IHN – Infinite Human Nature AB
Stockholm/Schweden am 28. Januar 2008